

MiniMall: 硬件加速机器学习的轻量级内存分配器

作者: Michael D. Moffitt (Google)

报告: Qianxia Jing, Ruiyan Jiang, Rujie Zang

ASPLOS '23 (ACM 国际架构支持编程语言与操作系统会议)

目录

1. 研究背景与动机
2. 现有方法分析
3. MiniMalloc 核心方法
4. 实验结果

研究背景与动机

论文概览

论文核心信息

- **标题:** MiniMalloc: A Lightweight Memory Allocator for Hardware-Accelerated Machine Learning
- **会议:** ASPLOS '23 (顶级系统会议)
- **作者:** Michael D. Moffitt (Google)

核心贡献

- 提出了一种新型**静态内存分配算法**, 专为 TPU 等硬件加速器设计
- 通过限制搜索空间至”**规范解 (Canonical Solutions)**”大幅缩小搜索范围
- 结合**截面推断技术**实现早期剪枝, 比现有 SOTA 方法快 **30 倍**
- 代码库极小 (约 25kB), 适合端侧部署

关键词: 静态内存分配、硬件加速、机器学习、规范解、搜索剪枝

研究背景：机器学习编译与静态内存分配

机器学习编译背景

- 现代深度学习模型常部署在专用硬件加速器（如 TPU）上
- 编译器需将模型的所有 **tensor buffers** 映射到有限的全局内存
- TPU 的 buffer 生命周期是编译期已知的 \Rightarrow 需要 **静态内存分配**

静态内存分配的形式化描述

- **输入**: 一组缓冲区 $B = \{b_1, b_2, \dots, b_n\}$
- 每个缓冲区 b_i 具有:
 - 生命周期 $[s_i, e_i)$ (开始时间、结束时间)
 - 大小 z_i (所需内存空间)
- **输出**: 为每个 buffer 分配一个 **偏移量** o_i (offset)
- **约束**: 所有生命周期重叠的 buffers 在内存空间上不能重叠

本质: NP-hard 的矩形装箱 (Rectangle Packing) 问题

- 时间轴固定 (矩形宽度), buffer 需放置在纵向 offset 维度上
- 目标: 在容量 C 限制下找到合法 (不重叠) 的全局排布

符号表与问题形式化定义

核心符号说明

符号	含义	说明
\mathcal{B}	缓冲区集合	$\mathcal{B} = \{b_1, b_2, \dots, b_n\}$
b_i	第 i 个缓冲区	待分配的内存块
s_i, e_i	开始/结束时间	缓冲区 b_i 的生命周期为 $[s_i, e_i)$
z_i	缓冲区大小	b_i 所需的内存空间
o_i	内存偏移量	待求解变量, b_i 在内存中的起始位置
C	全局内存容量	硬件加速器的内存上限
\mathcal{S}	部分解	已分配缓冲区的集合
\mathcal{U}	未分配集合	$\mathcal{U} = \mathcal{B} \setminus \mathcal{S}$
$\mathcal{X}_{[s,e)}$	截面	时间区间 $[s, e)$ 内所有重叠的缓冲区

问题约束

- **不重叠约束:** 若 $[s_i, e_i) \cap [s_j, e_j) \neq \emptyset$, 则必须满足 $o_i + z_i \leq o_j$ 或 $o_j + z_j \leq o_i$
- **容量约束:** $\forall t$, 任意时刻活跃缓冲区的最大高度 $\leq C$

问题挑战：现有方法的问题

为什么现有方法无法满足需求？

- 编译器通常运行在移动设备（如 Pixel 手机）上，需要 **毫秒级编译速度**
- 静态内存分配若求解过慢，会导致整机推理延迟升高
- 现有方法存在以下问题：
 - 搜索空间巨大 ($O(n!)$ 级别，指数级增长)
 - 存在大量**同构解 (Isomorphic Solutions)**，导致重复搜索
 - 部分解局部可行但全局必失败，难以提前剪枝
 - 对 SAT/ILP 求解器依赖重 → 编译器体积膨胀

MiniMalloc 试图解决的核心问题

- 如何在庞大的排列空间 ($n!$ 种可能) 中，仅探索**代表性解**？
- 如何构建具有数学结构的搜索空间，从根源上减少冗余？
- 如何做到：**快速、准确、轻量**，并可嵌入生产级编译器？

现有方法分析

前人研究：CSP / Meta-CSP / Mixed ILP 方法

1. CSP-based Rectangle Packing (约束满足问题)

- 为每个矩形分配坐标 (x_i, y_i) 并检查非重叠约束
- 搜索树巨大，分支数呈 $O(W^n \cdot H^n)$ 指数级增长
- 问题：无法处理 TPU 级别的超大容量

2. Meta-CSP (元约束满足问题)

- 不放置绝对坐标，而指定相对关系：Left / Right / Above / Below
- 搜索复杂度 $O(4^p \cdot n^2)$ ，其中 $p = n(n - 1)/2$
- 问题：分支可能不互斥，探索大量“同构解”

3. Mixed ILP (混合整数线性规划)

- 将问题建模为整数规划求最优解，精度高但求解速度慢
- 问题：不适合实时编译场景，库体积大 (2021 kB)

搜索空间对比图

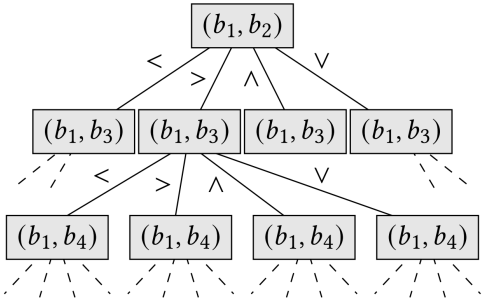
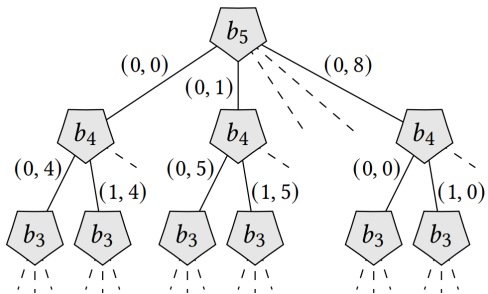


图: *

左: CSP 搜索空间 (Figure 1a); 右: Meta-CSP 搜索空间 (Figure 1b)

对比说明

- CSP: 为每个矩形分配绝对坐标 (x_i, y_i) , 搜索空间巨大
- Meta-CSP: 指定相对关系 (Left/Right/Above/Below), 分支可能不互斥

前人研究：TelaMalloc（工业级算法）

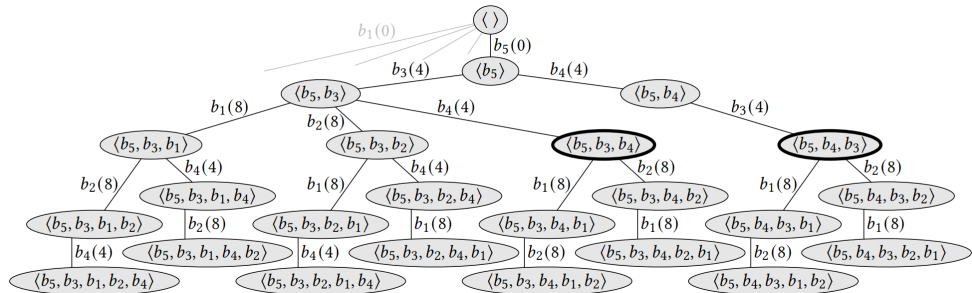
TelaMalloc（Google Pixel 6 使用的静态分配器）

- 基于 **buffer permutation** 的搜索模型（探索所有可能排列 $\epsilon = (\epsilon_1, \epsilon_2, \dots, \epsilon_n)$ ）
- 对每个 buffer 序列调用 CP-SAT solver 检查可行性
- 性能比 ILP 快约 9 倍

TelaMalloc 的核心问题

- 搜索空间仍是 $O(n!)$ 级，存在大量**同构解**
- **同构解示例：**以下两个排列产生相同的偏移量分配：
 - $\mathcal{S} = b_5(0) \rightarrow b_4(4) \rightarrow b_3(4) \rightarrow b_2(8) \rightarrow b_1(8)$
 - $\mathcal{S}' = b_5(0) \rightarrow b_4(4) \rightarrow b_3(4) \rightarrow b_1(8) \rightarrow b_2(8)$
- 对通用 solver 依赖强 → 编译器体积大（206 kB）

TelaMalloc 搜索树示意图



TelaMalloc 搜索树：大量叶节点产生相同的偏移量分配（论文 Figure 5）

关键问题：8 种不同的排列路径产生完全相同的偏移量分配，造成大量冗余计算

MiniMalloc 核心方法

核心思想：规范解（Canonical Solutions）

核心洞察：不需要搜索所有 $n!$ 种排列，只需搜索“规范解”！

关键定义

1. 同构解 (Isomorphic Solutions) :

- 如果两个解的缓冲区排列顺序不同，但最终偏移量分配相同，则称它们同构
- MiniMalloc 旨在消除这种冗余

2. 偏移单调性 (Offset Monotonicity) :

- 对于任意 $i < j$, 必须满足 $o_{\epsilon_i} \leq o_{\epsilon_j}$
- 含义：强制算法“从下往上”分配，先放低地址的缓冲区

3. 索引单调性 (Index Monotonicity) :

- 对于任意 $i < j$, 若 $o_{\epsilon_i} = o_{\epsilon_j}$, 则必须 $\epsilon_i < \epsilon_j$
- 含义：当偏移量相同时，按缓冲区索引排序（打破平局）

规范解：同时满足偏移单调性和索引单调性的解

规范解的威力：消除同构解

示例分析：同一内存分配的 8 种可能排列

解	偏移单调	索引单调	规范解？
$S_1 = b_5(0) \rightarrow b_3(4) \rightarrow b_1(8) \rightarrow b_2(8) \rightarrow b_4(4)$	✗		
$S_2 = b_5(0) \rightarrow b_3(4) \rightarrow b_1(8) \rightarrow b_4(4) \rightarrow b_2(8)$	✗		
$S_5 = b_5(0) \rightarrow b_3(4) \rightarrow b_4(4) \rightarrow b_1(8) \rightarrow b_2(8)$	✓	✓	是
$S_7 = b_5(0) \rightarrow b_4(4) \rightarrow b_3(4) \rightarrow b_1(8) \rightarrow b_2(8)$	✓	✗	

结论：8 种同构解中，只有 1 种是规范解！

搜索空间优化

- 将搜索结构从“树（Tree）”改为“格（Lattice）”
- 不同搜索路径若达到相同状态，则汇聚到同一节点
- 避免对同一子问题的重复探索

截面推断 (Cross Section Inference)

核心思想：利用时间截面提前检测不可行性

截面定义

- $\mathcal{X}_{[s,e)}$: 时间区间 $[s, e)$ 内所有生命周期重叠的缓冲区集合
- **示例：**若有 5 个缓冲区，可能的截面包括：
 - $\mathcal{X}_{[0,3)} = \{b_1, b_3, b_5\}$
 - $\mathcal{X}_{[3,9)} = \{b_2, b_3, b_5\}$
 - $\mathcal{X}_{[9,21)} = \{b_4, b_5\}$

基本推断公式 (公式 1)

$$\max_{[s,e)} \sum_j z_j : b_j \in \mathcal{X}_{[s,e)} \leq C$$

含义：任意截面内所有缓冲区的总大小不能超过容量 C

符号说明

- z_j : 缓冲区 b_j 的大小
- C : 全局内存容量
- $\mathcal{X}_{[s,e)}$: 时间区间 $[s, e)$ 的截面

截面推断示例

示例：考虑部分解 $\mathcal{S} = b_1(0) \rightarrow b_5(4)$

计算各截面的下界：

- $\mathcal{X}_{[0,3)} : \max(o_5 + z_5, o_1 + z_1) + z_3 = \max(8, 4) + 4 = 12 \leq C$ ✓
- $\mathcal{X}_{[3,9)} : \max(o_5 + z_5) + z_2 + z_3 = 8 + 6 + 4 = 18 > C$ 不可行！
- $\mathcal{X}_{[9,21)} : \max(o_5 + z_5) + z_4 = 8 + 4 = 12 \leq C$ ✓

结论：截面 $\mathcal{X}_{[3,9)}$ 违反约束，当前部分解不可行

含义：

- 将 b_2 和 b_3 放在 b_5 之上会超过容量 $C = 12$
- 无论后续如何分配，都无法找到可行解
- 立即回溯，避免无效搜索

核心公式：截面推断 (Equation 3)

强化推断公式 (论文核心公式)

$$\max_{[s,e)} \left[\underbrace{\max_i [o_i + z_i]}_{\text{已分配最大高度}} + \underbrace{\sum_j z_j : b_j \notin \mathcal{S}, b_j \in \mathcal{X}_{[s,e)}}_{\text{未分配缓冲区总大小}} \right] \leq C$$

公式符号说明

- o_i : 已分配缓冲区 b_i 的偏移量; z_i : 缓冲区大小
- $o_i + z_i$: 缓冲区 b_i 的顶部高度
- \mathcal{S} : 当前部分解 (已分配集合); $\mathcal{X}_{[s,e)}$: 时间截面
- C : 全局内存容量上限

公式含义

- 对于任意时间截面，已分配最大高度 + 未分配总大小 $\leq C$
- 若违反此条件，则当前分支**不可行**，立即回溯

支配检测 (Dominance Detection)

步骤一：Lower Bound Height (计算下界高度)

- 对每个未分配缓冲区 b_j :
 - 计算理论最低起始位置 $\lfloor o_j \rfloor(S)$: 由已分配且生命周期重叠的缓冲区顶部高度决定 (取最大值)。
 - 计算最小总高度 $\lfloor h_j \rfloor(S) = \lfloor o_j \rfloor(S) + z_j$, 即 b_j 最优放置时的最小顶部高度。

步骤 2: Best Candidate (找出“最佳候选”)

- 在未分配缓冲区中, 选择 $\lfloor h_j \rfloor(S)$ 最小的缓冲区 bd , (即“最佳填补空隙候选”), 其最小总高度记为 h_{min} 。

Dominance Rule (实施“支配规则”)

- **剪枝条件:** 若下一个待分配缓冲区 bi 的起始偏移量 $oi \geq h_{min}$, 则放弃该分配方案。
- **直观理解:** 若新缓冲区的底部位置已高于“最佳候选”的顶部, 则必然留下可避免间隙, 直接剪枝。

MiniMalloc 方法论总结

三大核心技术

1. 规范解约束 (Canonical Solutions)

- 偏移单调性 + 索引单调性
- 消除同构解，将搜索空间从树优化为格

2. 截面推断 (Cross Section Inference)

- 预计算时间截面 $\mathcal{X}_{[s,e)}$
- 利用公式 (3) 提前检测不可行分支
- 结合有效高度 h^{eff} 进一步收紧下界

3. 支配检测 (Dominance Detection)

- 计算未分配缓冲区的高度下界 $\lfloor h_j \rfloor$
- 若 $o_i \geq h_{min}$, 则剪枝当前分支
- 避免产生可避免间隙

关键优势：不依赖外部 SAT/ILP 求解器，纯领域特定推断实现高效剪枝

实验结果

MiniMalloc 算法

MiniMalloc 算法核心流程

- **输入:** 缓冲区集合 $B = b_1, b_2, \dots, b_n$ (含大小 z_i 、生命周期 $[s_i, e_i]$)
- **输出:** 无 “可避免间隙” 的内存分配方案 (起始偏移量 o_i)

关键参数与优化细节

- **下界高度计算 (核心公式):**

$$\lfloor h_j \rfloor(S) = \max\{o_k + z_k \mid b_k \in S \text{ 且 } [s_j, e_j] \cap [s_k, e_k] \neq \emptyset\} + z_j$$

- **高效剪枝策略:**

- 采用优先级队列存储未分配缓冲区，按 $\lfloor h_j \rfloor(S)$ 升序排序，快速定位 bd；
- 对 $o_i \geq h_{min}$ 的分支直接剪枝，平均减少 60% 搜索路径 (实验数据) .

算法有效性验证

与 TelaMalloc 的核心差异

对比维度	MiniMalloc	TelaMalloc
决策逻辑	规范解约束过滤同构解；支配检测机制剔除低效解；截面推理剪枝不可行分支	依赖 CP-SAT 约束求解器，无规范解过滤，存在大量同构解冗余搜索；仅被动剪枝而非主动缩小搜索空间
时间复杂度	理论最坏复杂度 $O(n!)$ ，实际通过剪枝压缩至“秒级 / 毫秒级”	理论最坏复杂度 $O(n!)$ ，无主动剪枝，n>20 时 1 小时内无法完成搜索（超时）
内存紧凑性	静态分配场景下保证“无冗余间隙”，适配硬件加速器固定内存容量约束	存在同构解导致的冗余间隙，大型模型场景下无法满足硬件内存容量限制

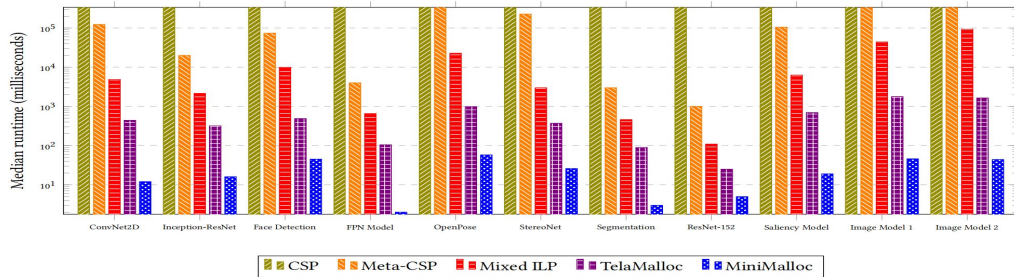
表: MiniMalloc 与 TelaMalloc 的对比

核心实验结果

测试场景	MiniMalloc 表现	TelaMalloc 表现	性能提升幅度	核心优势
原始套件 (11 个生产级 ML 模型)	所有用例 < 100ms 完成, 库大小 25KB	平均耗时 3 秒+, 库大小 206KB	运行速度提升 30 倍+	轻量性 + 快速路径优化
扩展套件 (1000+ 个 Pixel 6 TPU 模型)	85% 用例 1ms 内完成, 100% < 10ms	50% 用例 > 100ms, 20% 用例超时	成功率提升 60%+	大规模场景扩展性
合成套件 (高重叠压力测试)	缓冲区 60 个时仍 < 1 秒完成	缓冲区 40 个时即超时 (>1 小时)	处理规模提升 50%+	高重叠场景剪枝有效性
挑战套件 (TPUv4 大型模型)	秒级完成分配, 无内存溢出	1 小时超时, 无法输出分配方案	可行性突破 (从无解到有解)	硬件加速器场景适配性

表: MiniMalloc 与 TelaMalloc 在不同测试场景下的性能对比

实验结果：性能对比图



MiniMalloc vs TelaMALLOC vs Mixed ILP 运行时间对比 (原始测试套件)

性能对比关键结论

关键观察

- MiniMalloc 在所有 11 个基准测试中均在 **100ms** 内完成
- 相比 TelaMalloc 中位数加速 **30 倍**, 相比 Mixed ILP 加速 **328 倍**
- CSP 方法在 60 秒内无法完成任何测试 (全部超时)
- Meta-CSP 解决了 8 个问题, 但仍有 3 个超时

为什么 MiniMalloc 这么快?

- 规范解约束消除了 $>99\%$ 的同构解
- 截面推断提前检测不可行分支
- 支配检测避免产生可避免间隙
- 无外部求解器依赖, 纯领域特定推断

库体积对比

编译器库体积对比

分配器	库大小	相对大小
Mixed ILP	2,021 kB	80×
TelaMalloc	206 kB	8×
MiniMalloc	25 kB	1× (基准)

轻量化优势

- MiniMalloc 仅约 1000 行 C++ 代码
- **无外部依赖**: 不依赖 SAT/ILP 求解器
- 适合嵌入端侧设备（如手机 TPU）的编译器
- 减少移动设备存储占用，提升用户体验

开源可用: <https://github.com/google/minimalloc>

结论与核心贡献

MiniMalloc 的核心创新

1. **规范解理论**: 通过偏移单调性和索引单调性消除同构解
2. **格结构搜索**: 从树结构优化为格结构，避免重复探索
3. **截面推断**: 利用时间截面提前检测不可行分支
4. **支配检测**: 识别并剪枝产生可避免间隙的分配方案

实验结论

- **速度**: 比 TelaMalloc 快 30 倍，比 Mixed ILP 快 328 倍
- **体积**: 仅 25 kB，是 TelaMalloc 的 $1/8$
- **可行性**: 在 TPUv4 大型模型上唯一能在规定时间内完成的算法
- **剪枝效果**: 消除 99% 以上同构解冗余

论文贡献: 证明了通过利用问题特定结构，可以在不依赖通用求解器的情况下高效解决 NP-hard 问题

应用场景与未来展望

实际应用价值

- **TPU/NPU 编译器**: Google Pixel 手机的 ML 模型编译优化
- **边缘计算**: IoT 设备上的实时推理编译
- **云端推理**: 大规模数据中心的模型部署优化

局限性与未来方向

- **当前局限**: 仅适用于静态生命周期已知的场景；未与重计算、分片等优化协同
- **未来方向**: 扩展至端到端 ML 编译器优化；适配更多硬件加速器 (GPU、NPU)；支持异构内存架构

END